

**Triode mit Edelgasfüllung**

Triode, inert gas-filled

Triode avec remplissage à gaz rare

Triodo con relleno de gas noble

**Glasausführung**

Glass type

Exécution verre

Tipo de vidrio

**Kathode**

Cathode

Cathode

Cátodo

**direkt geheizt**

directly heated

à chauffage direct

caldeado directamente

**Montageanordnung:**

Mounting Position:

Disposition de montage:

Para montaje:

**Beliebig**

Any

Quelconque

cualquiera

**Gewicht**

Approx. net weight

Poids

Peso

0,35 kg

0,77 lbs

a = Anode

Anode

Anode

Anodo

g = Steuergitter

Control grid

Grille de réglage

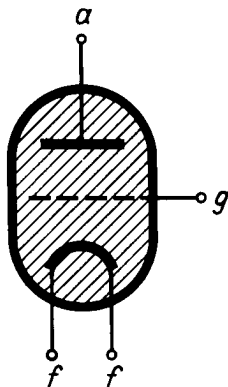
Rejilla de mando

f = Heizung

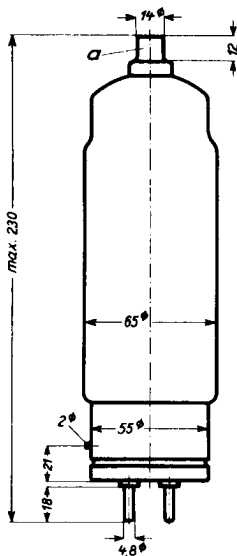
Filament

Filament

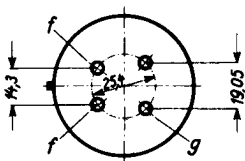
Filamento



Abmessungen }  
 Dimensions } mm  
 Dimensiones }



Sockelansicht von unten  
 Bottom view of socket  
 Socle vu du bas  
 Portaválvula vista desde abajo



**Freie Kontakte der Fassung dürfen nicht als Stützpunkte für Schaltmittel benutzt werden.**

Free socket contacts must not be used for supporting any circuitry.

Les contacts libres de la douille ne doivent pas servir de points d'appui pour l'appareillage de connexion.

Los contactos libres de los portalámparas no deben ser empleados como puntos de apoyo para elementos de conexión.

## Technische Werte Technical data Caractéristiques techniques Datos técnicos

<b>Heizspannung</b> Filament voltage Tension de chauffage Tensión de caldeo	}	$U_f$ 2,5 V
<b>Heizstrom</b> Filament current Courant de chauffage Corriente de caldeo		
	ca. abt. env. aprox.	}
<b>Heizstrom</b> Filament current Courant de chauffage Corriente de caldeo		
<b>Toleranz der Heizspannung</b> Max. permissible filament voltage fluctuations Fluctuation admissible de la tension de chauffage Tolerancia de la tensión de caldeo	}	max. $\pm$ 5%
<b>Anheizzeit</b> Cathode-heating time Durée de chauffage Tiempo de precaldeo		
	}	$t_f$ min. 60 sec.
<b>Anodenspannung (Scheitelwert)</b> Anode voltage (crest value) Tension anodique (valeur de crête) Tensión anódica (valor cresta)		
	}	$U_a$ max. 1,5 kV
<b>Anodenspannung (Scheitelwert)</b> Anode voltage (crest value) Tension anodique (valeur de crête) Tensión anódica (valor cresta)		
<b>Sperrspannung (Scheitelwert)</b> Inverse voltage (crest value) Tension d'arrêt (valeur de crête) Tensión de bloqueo (valor cresta)	}	$U_{inv.}$ max. 1,5 kV
<b>Sperrspannung (Scheitelwert)</b> Inverse voltage (crest value) Tension d'arrêt (valeur de crête) Tensión de bloqueo (valor cresta)		
<b>Anodenstrom (Scheitelwert)</b> Anode current (crest value) Courant anodique (valeur de crête) Corriente anódica (valor cresta)	}	$J_{max.}$ 80 A
<b>Anodenstrom (Scheitelwert)</b> Anode current (crest value) Courant anodique (valeur de crête) Corriente anódica (valor cresta)		
<b>Anodenstrom (Mittelwert)</b> Anode current (average) Courant anodique (valeur moyenne) Corriente anódica (valor medio)	}	$J_a$ max. 6,4 A
<b>Anodenstrom (Mittelwert)</b> Anode current (average) Courant anodique (valeur moyenne) Corriente anódica (valor medio)		
<b>Steuergitterspannung bei gesperrter Röhre (Scheitelwert)</b> Negative control grid bias of non-conductin. tube (crest value) Tension de grille régulatrice pour tube non allumé (valeur de crête) Tensión de rejilla de mando con válvua no encendida (valor cresta)	}	$U_g$ max. - 250 V
<b>Steuergitterspannung bei gesperrter Röhre (Scheitelwert)</b> Negative control grid bias of non-conductin. tube (crest value) Tension de grille régulatrice pour tube non allumé (valeur de crête) Tensión de rejilla de mando con válvua no encendida (valor cresta)		

**Steuergitterstrom (Scheitelwert)**  
Control grid current (crest value)  
Courant de grille (valeur de crête)  
Corriente de rejilla (valor cresta)

}  $\hat{i}_g$  max. 0,2 A

**Steuergitterstrom (Mittelwert)**  
Control grid current (average)  
Courant de grille (valeur moyenne)  
Corriente de rejilla (valor medio)

}  $i_g$  max. 0,05 A

**Gitterwiderstand**  
Max. grid resistance  
Résistance de grille  
Resistencia de rejilla

}  $R_g$  max. 100 k  $\Omega$

**Spannungsabfall an der gezündeten Röhre**  
Arc drop  
Chute de tension  
Caída de tensión

}  $U_B$  16 V

**Integrationszeit**  
Integration time  
Temps d'intégration  
Tiempo de integración

}  $\tau$  max. 15 sec.

**Jonisationszeit**  
Ionisation time  
Temps d'ionisation  
Tiempo de ionización

}  $t_i$  10  $\mu$  sec.

**Freiwerdzeit**  
Recovery time  
Temps de recouvrement  
Tiempo de recobro

bei  
at  
à  
en }  $U_g = - 10$  V  $t_r$  500  $\mu$  sec.  
 $U_g = - 100$  V  $t_r$  70  $\mu$  sec.

**Gitteranoden-Kapazität**  
Grid-anode capacity  
Capacité d'anode de grille  
Capacidad del ánodo de rejilla

}  $C_{ag}$  0,8 pF  
( $\mu\mu$ F)

**Eingangs-Kapazität**  
Grid-filament capacity  
Capacité a'entrée  
Capacidad rejilla filamento

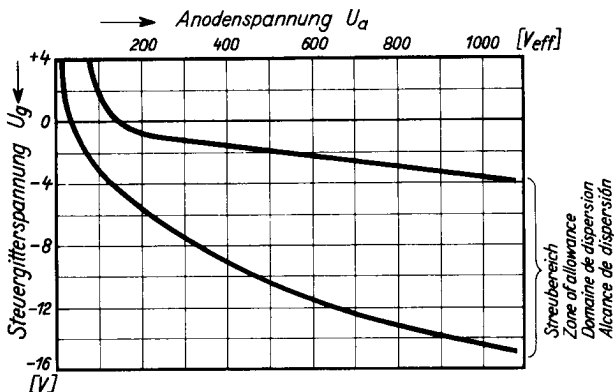
}  $C_g$  45 pF  
( $\mu\mu$ F)

**Ausgangs-Kapazität**  
Anode-filament capacity  
Capacité de sortie  
Capacidad ánodo-filamento

}  $C_a$  26 pF  
( $\mu\mu$ F)

**Umgebungstemperatur**  
Ambient temperature  
Température ambiante  
Temperatura de ambiente

} min. - 55° C  
max. + 70° C



**Zündkennlinienbereich bei einer großen Zahl von Röhren gemessen. Zündkennlinie stellt Steuergitterspannung  $U_g$  in Abhängigkeit von der Anodenwechselspannung  $U_a$  (Effektivwert) am Zündpunkt dar.**

Band of ignition characteristics as determined from measurements of a multitude of tubes.

Breakdown characteristic presents grid potential  $U_g$  as function of anode voltage (effective)  $U_a$  at firing point.

Domaine des caractéristiques d'allumage d'eterminé sur un grand nombre de tubes. La caractéristique d'allumage représente la tension de grille  $U_g$  en fonction de la tension alternative anodique (valeur effective) au point d'allumage.

Alcance de las características de ignición determinado en gran número de válvulas medidas.

La característica de ignición representa la tensión de rejilla de mando  $U_g$  en dependencia de la tensión alterna anódica  $U_a$  (valor eficaz) en el punto de ignición.